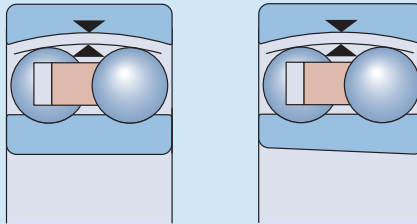


Radialluft von Pendelkugellagern



Bohrungsdurchmesser Radialluft  
C2

d über	bis	Normal		C3		C4			
		min.	max.	min.	max.	min.	max.		
mm		µm							

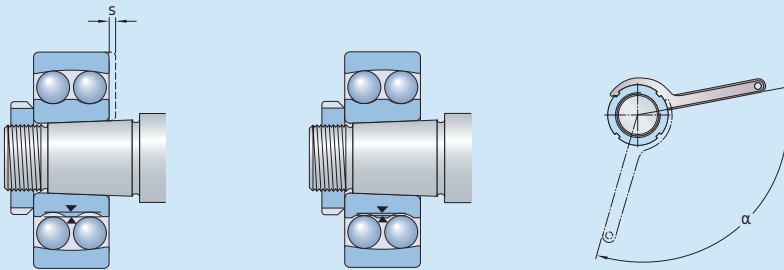
Lager mit zylindrischer Bohrung

2,5	6	1	8	5	15	10	20	15	25
6	10	2	9	6	17	12	25	19	33
10	14	2	10	6	19	13	26	21	35
14	18	3	12	8	21	15	28	23	37
18	24	4	14	10	23	17	30	25	39
24	30	5	16	11	24	19	35	29	46
30	40	6	18	13	29	23	40	34	53
40	50	6	19	14	31	25	44	37	57
50	65	7	21	16	36	30	50	45	69
65	80	8	24	18	40	35	60	54	83
80	100	9	27	22	48	42	70	64	96
100	120	10	31	25	56	50	83	75	114
120	140	10	38	30	68	60	100	90	135
140	160	15	44	35	80	70	120	110	161
160	180	15	50	40	92	82	138	126	185
180	200	17	57	47	105	93	157	144	212
200	225	18	62	50	115	100	170	155	230
225	250	20	70	57	130	115	195	175	255

Lager mit kegeliger Bohrung

18	24	7	17	13	26	20	33	28	42
24	30	9	20	15	28	23	39	33	50
30	40	12	24	19	35	29	46	40	59
40	50	14	27	22	39	33	52	45	65
50	65	18	32	27	47	41	61	56	80
65	80	23	39	35	57	50	75	69	98
80	100	29	47	42	68	62	90	84	116
100	120	35	56	50	81	75	108	100	139

Drive-up Daten für Pendelkugellager mit kegeliger Bohrung



Bohrungs- durchmesser d	Axiale Verschiebung s	Muttern-Anzugswinkel $\alpha$
mm	mm	Grad
20	0,22	80
25	0,22	55
30	0,22	55
35	0,30	70
40	0,30	70
45	0,35	80
50	0,35	80
55	0,40	75
60	0,40	75
65	0,40	80
70	0,40	80
75	0,45	85
80	0,45	85
85	0,60	110
90	0,60	110
95	0,60	110
100	0,60	110
110	0,70	125
120	0,70	125